

FS = 1,43
FS = 0,96

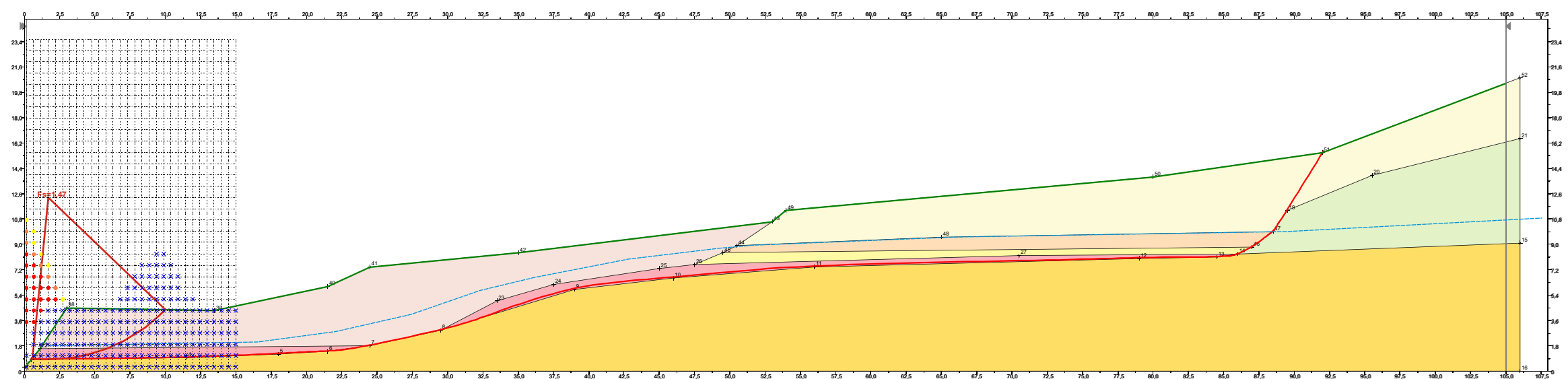
**WYNIKI MODELOWANIA ODWROTNEGO
PIERWOTNEGO UKSZTAŁTOWANIA ZBOCZA
WZDŁUŻ PRZEKROJU I - I'**

- FS** - wskaźnik stateczności przy granicznej wytrzymałości na ścinanie warstwy III
- FS** - wskaźnik stateczności przy resztkowej wytrzymałości na ścinanie warstwy III

Wyniki modelowania odwrotnego wskazują, że przy spadku wytrzymałości na ścinanie do wartości resztkowej dla warstwy poślizgowej (warstwa III) doszło do utraty stateczności i osunięcia się zbocza ($FS < 1,0$). Poszerzanie się osuwiska następowało skutkiem utraty oparcia przez grunty wokół pierwotnego obrywu przy cieku, a także doszło do zapadnięcia się gruntu wyższej partii zbocza (podłoża drogi) i uszkodzenia drogi powiatowej.

**OZNACZENIA BARW
I
SYMBOLI WARSTW**

	IA
	IB
	IC
	ID
	II
	III
	IV



**WYNIKI KOMPUTEROWEGO
MODELOWANIA STATECZNOŚCI
ZBOCZA WZDŁUŻ PRZEKROJU I - I'**

- FS** - wskaźnik stateczności przy resztkowej wytrzymałości na ścinanie warstwy III

Wyniki modelowania stateczności obecnego zbocza wskazują, że dolna partia zbocza nie jest stabilna. Na przekroju wygenerowano najbardziej rozległą płaszczyznę poślizgu przy wartościach wskaźnika stateczności $FS < 1,50$. Płaszczyzny pomiędzy krawędzią skarpy nad potokiem a najdalszym przedstawionym zasięgiem charakteryzują się niższym wskaźnikiem stateczności. Wynika stąd, że może dochodzić do dalszych osunięć skarpy przy potoku, a co za tym idzie również dalsze poszerzanie się zasięgu osuwiska i postępujące uszkodzenie drogi skutkiem zapadnięcia gruntu.